

# MEDDELELSE FRA VEIDIREKTØREN

NR. 9

Undersøkelser av masseutskiftningsmaterialer for vei- og jernbanebygging. — Kungl. väg- och vattenbyggnadstyrelsen i Sverige. — Veivesenets knotthugger i Brennmoen, Østfold. — Veiknuter. — Trørør for drenering av vannledning. — Et næringslivets veispørsmål. — Personalia. — Nye fylkesveikarter.

Septbr. 1941

## UNDERSØKELSER AV MASSEUTSKIFTNINGSMATERIALER FOR VEI- OG JERNBANEBYGGING

Tredje del: NØDVENDIG TYKKELSE FOR MASSEUTSKIFTNINGSMATERIALER

Av A. Watzinger og E. Kindem.

### Innholdsfortegnelse.

Side

I. Beregningsgrunnlag for skikttykkelsen ...	125
II. Jernbaneprofiler .....	128
III. Veiprofiler .....	129
IV. Sluttbemerkninger .....	131
V. Zusammenfassung (in deutscher Sprache)	132
VI. Litteratur .....	134

### 1. Beregningsgrunnlag for skikttykkelsen.

De i de to første deler [1 og 2] meddelte undersøkelser ang. masseutskiftningsmaterialenes viktigste fysiske konstanter, samt beregninger av motstanden mot frostens nedtrengning gjennom materialene er i det følgende benyttet som grunnlag for en beregning av hvilke tykkelser de forskjellige anvendte materialskikt må ha, for å forhindre at frosten gjennomtrenger samtlige skikt og bevirker telehiving ved at den underliggende grunn fryser. De skikttykkelsene som må benyttes, er først og framst avhengig av kuldens styrke og varighet på hvert enkelt sted, og som tidligere vist [2, s. 111], kan vinterens kulde med henblikk på dens virkning på frostens nedtrengning tallmessig angis ved frostmengden  $F$ .  $F$  utregnes som den største algebraiske sum av lufttemperaturen målt i kuldegrader for hver time i en sammenhengende tid, og har dimensjon  $h^{\circ}C$  ( $\div h^{\circ}C$ ).

Beregningen må for hvert sted utføres på grunnlag av de ugunstigste for vedkommende sted foreliggende observasjoner om lufttemperaturen.

(Som holdepunkt ang. frostmengdens størrelse kan nevnes at i den meget kalde vinter 1939—40 utgjorde frostmengden på Rena 35 400  $h^{\circ}C$  (beregnet fra tiden 17. nov. 1939 til 6. april 1940 på grunnlag av lufttemperaturomsverasjoner utlånt fra Statens Meteorologiske Institutt). I Trondheim utgjorde frostmengden i tiden 4. des. 1939 til 31. mars 1940 14 200  $h^{\circ}C$ .)

Til den av de meteorologiske observasjoner av lufttemperaturen beregnede verdi av frostmengden

bør legges et tillegg p. g. a. varmeutstrålingen. Tillegget beregnes i henhold til [2, s. 118] og vil bli forskjellig på de forskjellige steder, avhengig av skydekket.

Beregningen av skikttykkelsene er utført for frostmengder  $F$  fra 0 og inntil 40 000  $h^{\circ}C$ , og omfatter de frostmengder som kan tenkes å ha praktisk betydning for norsk jernbane- og veibygging.

I den tid frosten bruker for å trenge gjennom et i virkelig dybde beliggende materialskikt fra dets øvre til dets nedre overflate, forbrukes delen  $\Omega$  av den samlede frostmengde  $F$ .  $\Omega$  ble i [1, s. 21] benevnt som skiktets frysemotstand. Summen av frysemotstanden  $\Sigma \Omega$  for samtlige over hverandre beliggende forskjellige skikt som gjennomfrys i løpet av vinteren blir derfor lik frostmengden  $F$ .

Ifølge [1, s. 21] kunne  $\Omega$  beregnes av ligningen

$$\Omega = q \frac{\delta^2}{2} \left[ \frac{1}{\lambda} + \frac{2}{\delta} \left( \frac{1}{\alpha} + \sum \frac{\delta_0}{\lambda_0} \right) \right] h^{\circ}C$$

I ligningen betegner:

$\delta$  = materialets skikttykkelse i m

$q$  = materialets kulemagasinerende evne i kcal/m<sup>3</sup>

[1, s. 19]

$\lambda$  = materialets varmeledningstall i kcal/mh<sup>°</sup>C

$\alpha$  = varmeovergangstall mellom overflate og luft i kcal/m<sup>2</sup> h<sup>°</sup>C

$\sum \frac{\delta_0}{\lambda_0}$  = varmegjennomgangsmotstand av overliggende skikter i m<sup>2</sup> h<sup>°</sup>C/kcal.

Materialverdiene  $q$  og  $\lambda$  tas ut av de utførte laboratoriemessige undersøkelser [1, fig. 30 og 37], avhengig av det vanninnhold som etter observasjonene i friluftsfelter kan ansees som sannsynlig. [2, s. 109.] Tallverdiene for  $q$  og  $\lambda$  er sammenstilt i tabell 24 for forskjellige masseutskiftningsmaterialer og for veidekker.

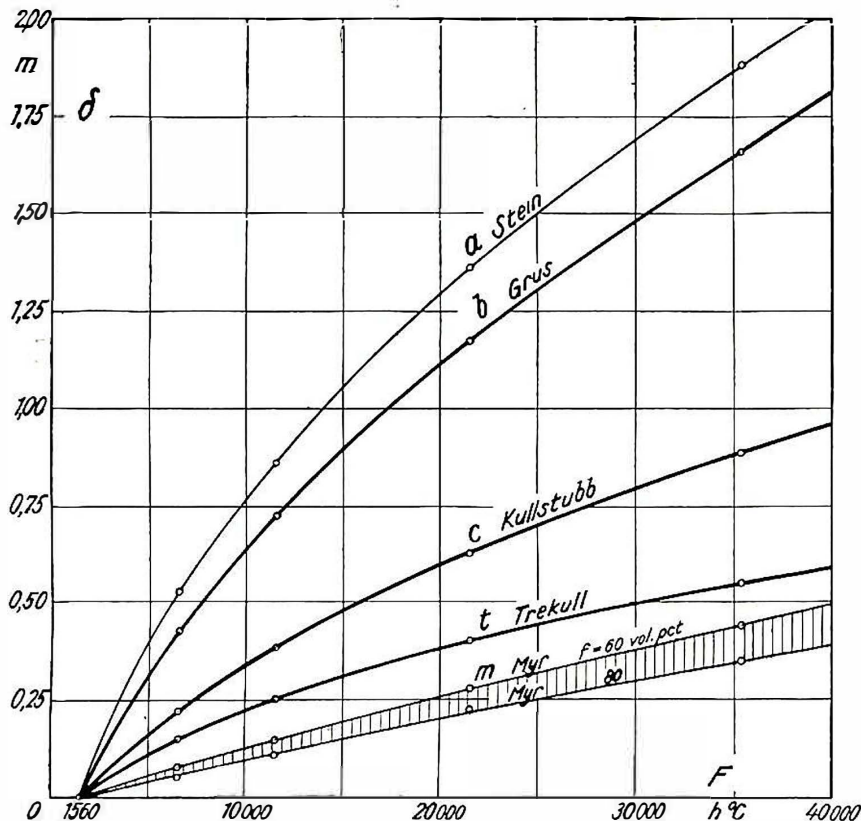


Fig. 57. Jernbaneprofiler. Overbygning 0,5 m pukk. Tykkelse  $\delta$  for masseutskiftningsmaterialer avhengig av frostmengde  $F$ . a) stein, b) grus, c) kullstubb, t) trekull, m) myr.

T a b e l l 2 4. Materialverdier  $q$  og  $\lambda$ .

Materiale	Antatt vanninnhold vol. pct.	$q$ kcal/m³	$\lambda$ kcal/mh°C
<i>Utskiftningsmaterialer</i>			
Pukk .....	4	5 000	0,4
Stein .....	4	5 000	0,4
Grus .....	7	7 000	0,5
Kullstubb .....	16	14 000	0,3
Koksaske .....	20	17 000	0,4
Trekull .....	20	17 000	0,12
Myr .....	60	50 000	0,80
	80	60 000	1,15
<i>Veidekker</i>			
Betongdekke .....	11	11 100	1,10
Asfaltdekke .....	8	10 600	0,75
Trebrolegning .....	10	10 000	0,31

Ved de følgende beregninger er sett bort fra varmeovergangsmotstanden  $1/\alpha$  mellom luft og overflate, dessuten er det forutsatt at det ikke finnes noe isolerende snedekke.

Den frostmengde som opptas av det øverste materialelag og som er lik lagets frysemotstand er under disse forutsetninger

$$\Omega_1 = \frac{q_1}{\lambda_1} \cdot \frac{\delta_1^2}{2},$$

hvor indeks 1 betegner materialet i øverste lag.

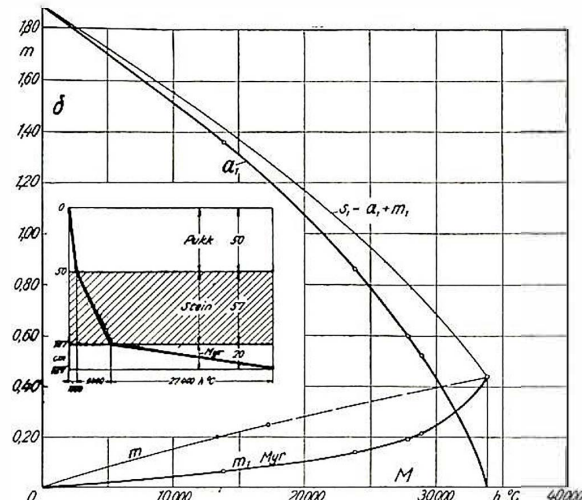


Fig. 59. Hjelpekurver til fig. 58. Sammenhørende skikttykkeler av myr ( $m_1$ ) og stein ( $a_1$ ) ved frostmengde  $F = 35400 \text{ h°C}$ , avhengig av den i myrlaget oppnåtte frostmengde  $M$ . Kurve  $s_1 = a_1 + m_1$ , gir den samlede skiktthøyde under pukklaget. Sidefigurer viser fordelingen av frostmengden på de 3 skiktene, under forutsetning av 0,2 m myrunderlag. (Frostmengdens øking er skjematisk inntegnet som rette linjer.)

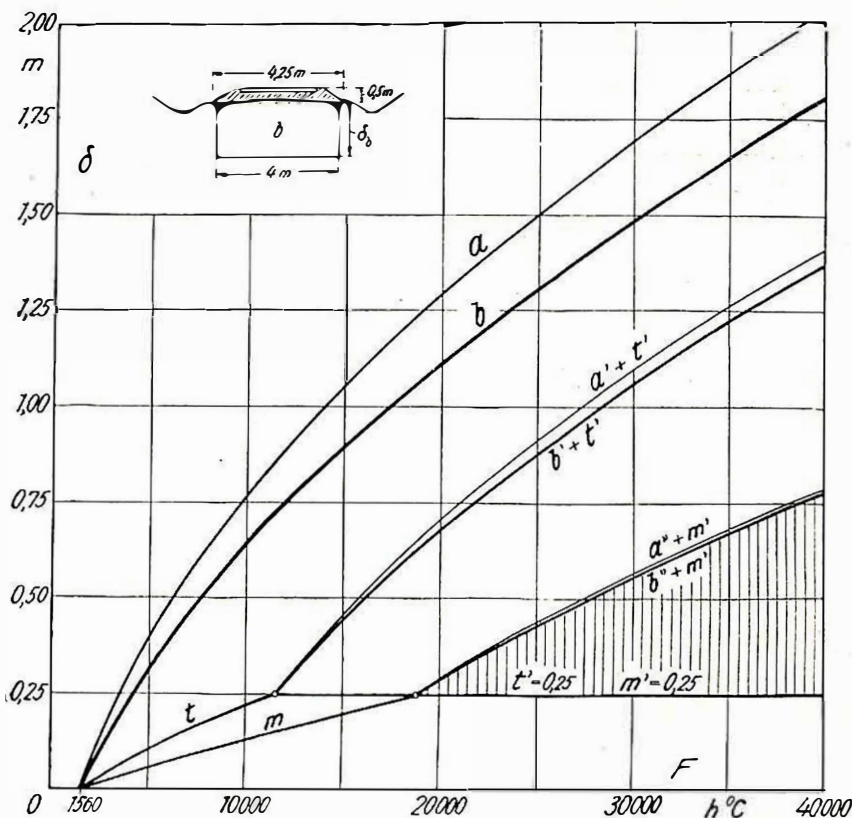


Fig. 58. Jernbaneprofiler. Overbygning 0,5 m pukk. Tykkelse  $\delta$  for stein og grus alene (a og b) og i kombinasjon med 0,25 m trekullunderlag ( $a' + t'$ ,  $b' + t'$ ), eller 0,25 m myrunderlag ( $a'' + m'$ ), ( $b'' + m'$ ).

I et underliggende lag ( $n$ ) med gitt skikttykkelse  $\delta_n$  er frysemotstanden

$$\Omega_n = \frac{q_n \cdot \delta_n^2}{\lambda_n} + q_n \delta_n \sum \frac{\delta_0}{\lambda_0}$$

Sammenfatter man frysemotstanden av samtlige overliggende lag med foreskreven skikttykkelse i uttrykket  $\sum \Omega_0$ , og skal den resterende frostmengde ( $F - \sum \Omega_0$ ) i sin helhet bli opptatt av det underliggende masseutskiftningsmaterialet, så beregnes den nødvendige tykkelse etter følgende ligning:

$$\delta = -\lambda \sum \frac{\delta_0}{\lambda_0} + \sqrt{\lambda^2 \left( \sum \frac{\delta_0}{\lambda_0} \right)^2 + 2 \frac{\lambda}{q} \left( F - \sum \Omega_0 \right)}$$

Anordnes det under masseutskiftningsmaterialet et skikt med bestemt foreskreven tykkelse (myr- eller trekullunderlag) som forutsettes å skulde opta den siste del av frostmengden, finnes den nødvendige tykkelse av utskiftningsmaterialet ved å beregne korresponderende verdier av skikttykkelsen for utskiftningsmasse og underlag, og av disse å benytte det verdipar som svarer til den foreskrivne tykkelse av underlaget.

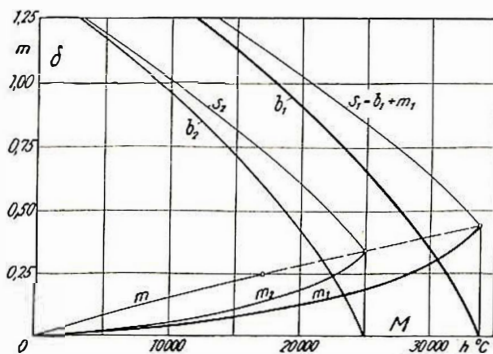


Fig. 60. Hjelpekurver til fig. 58. Sammenhørende tykkelse  $\delta$  av myr (m) og grus (b) ved frostmengde  $F_1=35400$  og  $F_2=26560$   $h^{\circ}\text{C}$ , avhengig av den i myrlaget opptatte frostmengde  $M$ . Kurvene  $s_1$  og  $s_2$  gir den samlede skikttykkelse under pukklaget.

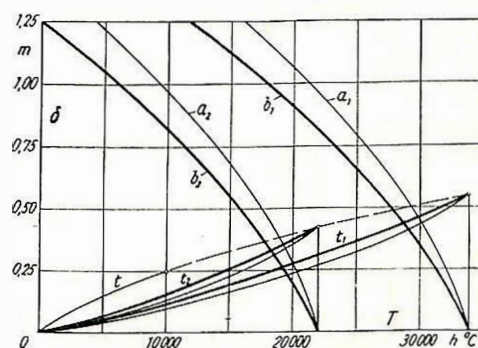


Fig. 61. Hjelpekurver til fig. 58. Sammenhørende tykkelse  $\delta$  av trekull ( $t_1$ ) og stein ( $a_1$ ), henholdsvis grus ( $b_1$ ) ved frostmengde  $F_1=35400$  og  $F_2=23560$   $h^{\circ}\text{C}$ , avhengig av den i trekull-laget opptatte frostmengde  $T$ . Summekurvene er ikke inntegnet.

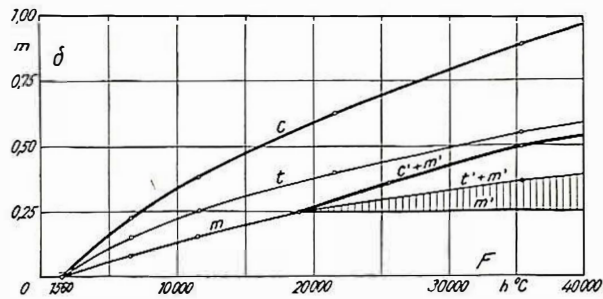


Fig. 62. Jernbaneprofiler. Overbygning 0,5 m pukk. Tykkelse  $\delta$  for kullstubb ( $c$ ) og trekull ( $t$ ) alene og i kombinasjon med 0,25 m myrunderlag ( $c' + m'$ ) og ( $t' + m'$ ).

Ved alle beregninger forutsettes at de samlede masser fryser helt til bunns ved opptagning av frostmengden  $F$ .

Beregningens resultater er i det følgende sammenstilt atskilt for jernbane- og veiprofiler. Beregningene er utført på grunnlag av profilskisser utarbeidet av prof. Heje.

## II. Jernbaneprofiler.

Ved samtlige jernbaneprofiler er som øverste lag forutsatt 0,5 m pukk. Som utskiftningsmateriale under pukken er regnet med stein, grus, kullstubb, trekull og myr.

Myr anvendes for tiden først og fremst som tenningsmateriale under steinfylling i tykkelse av 0,2 til 0,25 m. For større tykkelser er myr antageligvis ikke anvendelig som fyllingsmateriale, da underlaget ville bli for elastisk.

Etter de utførte observasjoner [2, s. 106], tillater dog myr i kombinasjon med andre utskiftningsmateriale en vesentlig reduksjon av den samlede skikttykkelsen. Det ble derfor også utført beregninger av tykkelsen for ovennevnte utskiftningsmateriale, kombinert med et 0,25 m tykt myrlag.

Da myrlaget i spesielle tilfelle kan tenkes erstattet med trekull, ble beregningen for stein og grus også utført under denne forutsetning.

For jernbaneprofiler beregner seg frysemotstanden  $\Omega_1$  i det 0,5 m tykke pukkskikt til  $1560^{\circ}\text{C}$ .

Forutsettes den resterende frostmengde ( $F - 1560$ ) i sin helhet opptatt av et underliggende ensartet masseutskiftningsmateriale, så må dette utføres med tykkelsen  $\delta$  som kan uttas av fig. 57. Som man

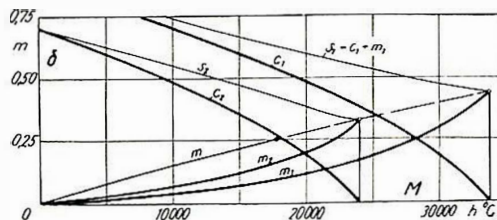


Fig. 63. Hjelpekurver til fig. 62. Sammenhørende tykkeler  $\delta$  for myr ( $m_1$ ) og kullstubb ( $c_1$ ) ved frostmengde  $F_1=35400$  og  $F_2=25560$   $h^{\circ}\text{C}$ , avhengig av den i myrlaget opptatte frostmengde  $M$ .

ser øker skikttykkelsen med frostmengden  $F$  omrent etter en parabelformet kurve, som har sitt 0-punkt ved den av pukkskiktet opptatte frostmengden  $1560^{\circ}\text{C}$ .

For myr er inntegnet 2 kurver, svarende til henholdsvis 60 og 80 vol.pct. fuktighet. Under forutsetning av at en eventuell drenering anordnes over myrskikket, kan man antageligvis ga ut fra at myr vil holde ca. 80 vol.pct. fuktighet. Da man dog på den annen side må regne med en viss sammenpressing av myren i løpet av tiden, er i det følgende alltid forutsatt et vanninnhold av 60 vol.pct., da dette gir noe større lagtykkelse.

Kurvene for stein og myr er inntegnet tynt, da stein bare anvendes i kombinasjon med myrunderlag, og myr alene som selvstendig utskiftningsmateriale bare i tykkelse inntil 0,25 m.

Som det framgår av fig. 57 er myr alene således begrenset til frostmengder inntil ca.  $19000^{\circ}\text{C}$ . For større frostmengder må den kombineres med et av de andre masseutskiftningsmaterialer.

Fig. 58 viser kombinasjon av myr, henholdsvis trekull med stein og grus. Som man ser har det i forbindelse med trekull- eller myrunderlag nødvendige grus- eller steinskikt praktisk talt samme tykkelse til tross for at skikttykkelsen for stein alene ( $a$ ) er betydelig større enn for grus ( $b$ ). Forklaringen ligger i begge materialers forskjellige varmeledningsmotstand  $\delta/2$ . I denne forbindelse henvises til de ved beregningen benyttede hjelpekurver, fig. 59 til 61, i hvilke de sammenhørende skikttykkelsene av stein, grus, myr og trekull er opptegnet, avhengig av den i myr, henholdsvis trekull opptatte frostmengde ( $M$  og  $T$ ). De inntegnede kurver gjelder for en bestemt frostmengde  $F$ .

Fig. 62 gir, avhengig av frostmengden  $F$ , de skikt-høyder som er nødvendig for kullstubb ( $c$ ) og trekull ( $t$ ) alene og i kombinasjon med myrunderlag. Fig. 63 og 64 viser for kullstubb, henholdsvis trekull, ved uforandret frostmengde sammenhørende verdier for myrunderlag og overliggende skikt, avhengig av den i myrlaget opptatte frostmengde  $M$ .

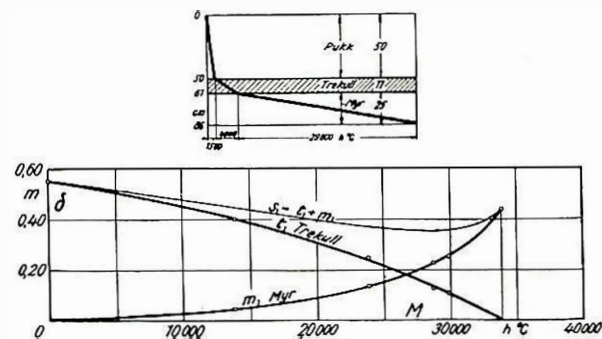


Fig. 64. Hjelpekurver til fig. 62. Sammenhørende tykkeler for myr ( $m_1$ ) og trekull ( $t_1$ ) ved frostmengde  $F_1=35400^{\circ}\text{C}$ , avhengig av den i myrlaget opptatte frostmengde  $M$ . Kurve  $s_1$  gir den samlede tykkelsen under pukklaget. Øvre figur viser skjematiske fordelingen av frostmengden på pukk, trekull og myr.

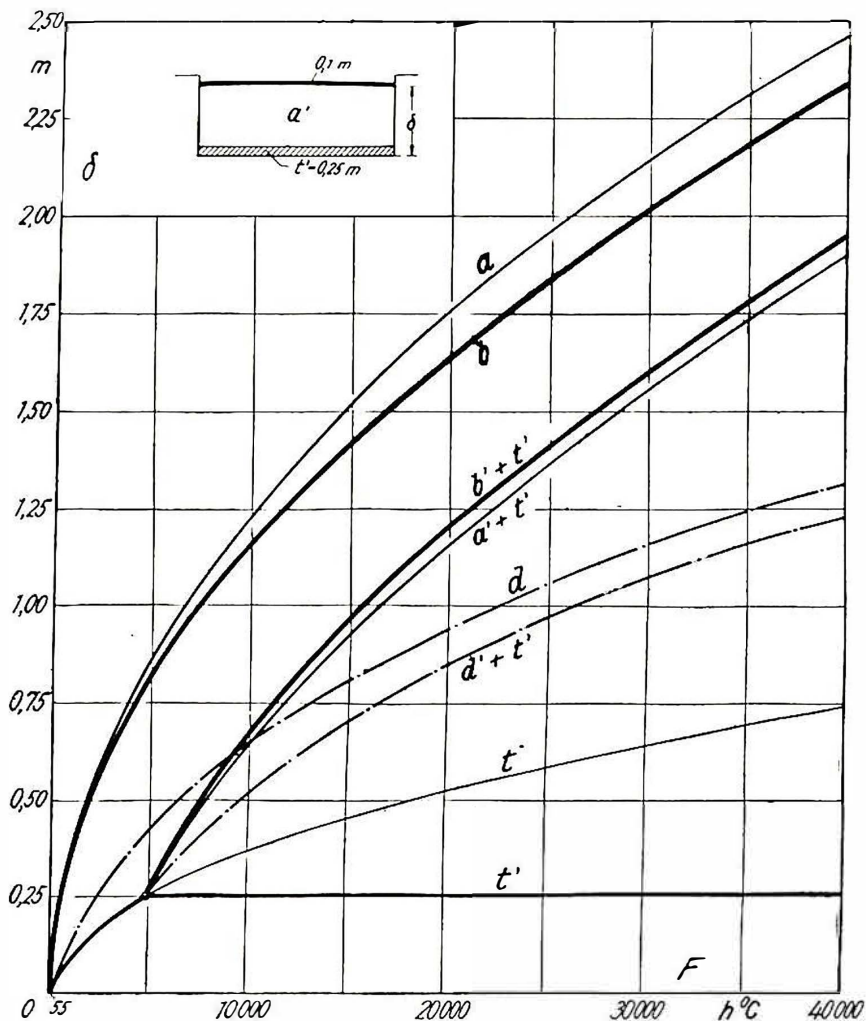


Fig. 65. Betongdekke. (Et lag 0,1 m betong). Tykkelse  $\delta$  av masseutskiftningsmaterialet for stein (a), grus (b), koksaske (d) og trekull (t) alene, samt for stein (a'), grus (b'), koksaske (d'), kombinert med  $t'=0,25$  m trekullunderlag, avhengig av frostmengden  $F$ . Overbyggingen opptar 55 h<sup>o</sup> C.

Mens for grus, stein og kullstubb den totale skikttykkelse avtar med økende tykkelse av myrlaget, fins det ved kombinasjonen trekull—myr, fig. 64, et minimum, som ved den oppgitte frostmengde svarer til en skikttykkelse av henholdsvis 0,23 m for myr og 0,13 m for trekull.

Av hjelpekurvene, fig. 59—61 og 63—64, kan det uttas sammenhørende verdier for tykkelsen av utskiftningsmateriale og underlag også for andre skikttykkeler av underlaget enn de 0,25 m som er benyttet ved opptegning av kurvene, fig. 58 og 62.

### III. Veiprofiler.

For veiprofiler er beregningen utført for betongdekke, grusdekke, asfaltdekke, trebrolegging og steinbrolegging. Anordningen av materialene framgår av de profilskisser som er opptegnet i forbindelse med kurvene fig. 65 til 69. Som utskiftningsmateriale under veidekkene er regnet med stein, grus, koksaske og trekull, såvel alene som i kombinasjon med et underlag av 0,25 m trekull. Beregningen for myr-

underlag er bare gjennomført for grusdekke, da kombinasjonen med myr antas å ha mindre betydning for veiprofiler.

For veiprofiler anvendes, med unntakse av betongdekke, 2 til 3 øverste lag av foreskreven tykkelse, som felles danner det egentlige veidekke. De forskjellige veidekkers frysemotstand  $\Omega_1$  er beregnet av de tidligere oppgitte formler og tallverdier (tab. 24) og sammenstilt i tabell 25.

Det må henvises til at varmeledningsmotstanden  $\Sigma \delta_1 / \lambda_1$  muligens er noe mindre enn beregnet, da de øverste skiktlag blir forholdsvis sterkt sammenpresset. Samtidig kan det ved dekket 2 og 5 regnes med at mellrommene mellom steinen vil bli fylt med grus og sand, hvorved steinskiktets varmeledningsevne øker.

Andelen av veidekkets øvre lag i den samlede frysemotstand (siste rubrik i tabell 25) er dog i seg så liten at de mulige avvikler er uten større innflytelse på de i det følgende beregnede skikttykkeler.

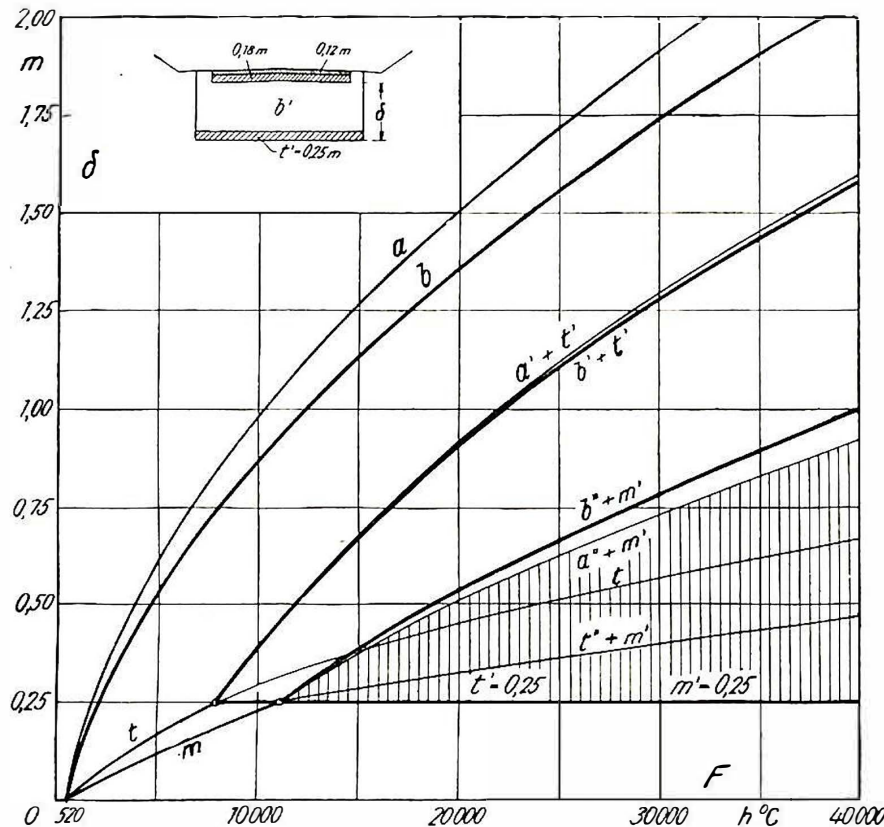


Fig. 66. Grusdekke. (Dekke 0,12 m grus over 0,18 m stein). Tykkelse  $\delta$  av masseutskiftningsmaterialet for stein (a), grus (b) og trekull (t) alene og for stein (a') og grus (b') kombinert med  $t'=0,25$  m trekullunderlag og for stein (a''), grus (b'') og trekull (t'') kombinert med  $m'=0,25$  m myrunderlag, avhengig av frostmengden  $F$ . Overbyggingen optar 520 h° C.

T a b e l l 2 5. Frysemotstand av veidekker for hvert enkelt skikt og totalt.

Nr.	Veidekker	Antall lag	Materiale	$\delta_1$ m	$\frac{\delta_1}{\lambda_1}$	$\sum \frac{\delta_1}{\lambda_1}$	Frysemotstand	
							Pr. h °C	Total h °C
1	Betongdekke .....	1	Betong	0,10	0,09	0,09	55	55
	Betongdekke .....	1	Betong	0,20	0,18	0,18	210	210
2	Grusdekke .....	2	Grus Stein	0,12 0,18	0,24 0,45	0,69	101 419	520
	Asfaltdekke .....	2	Asfalt Stein	0,05 0,25	0,07 0,62	0,69	25 225	250
4	Trebrolegning .....	2	Treklosser Betong	0,10 0,15	0,32 0,14	0,46	164 651	815
	Steinbrolegning .....	3	Stein Grus Stein	0,16 0,15 0,15	0,40 0,30 0,37	1,07	160 213 664	1037

Fig. 65—69 viser for de 5 beregnede veidekkene den under veidekket nødvendige tykkelsen  $\delta$  av masseutskiftningsmaterialet, avhengig av frostmengden  $F$ . Kurvene a, b, d og t gjelder henholdsvis for stein, grus, koksaske og trekull alene. Kurvene a' + t', b' + t', d' + t' gjelder henholdsvis for stein, grus og koksaske i kombinasjon med 0,25 m trekull (t').

For grusdekket er dessuten tykkelsen beregnet for stein, grus og trekull over 0,25 m myrunderlag ( $m'$ ).

Som det framgår av en sammenligning av de forskjellige figurer, bevirker veidekkenes forskjellige varmeledningsmotstand og varmekumulering noen forskjell i utskiftningsmaterialenes tykkeler, men stort sett er innflytelsen liten.

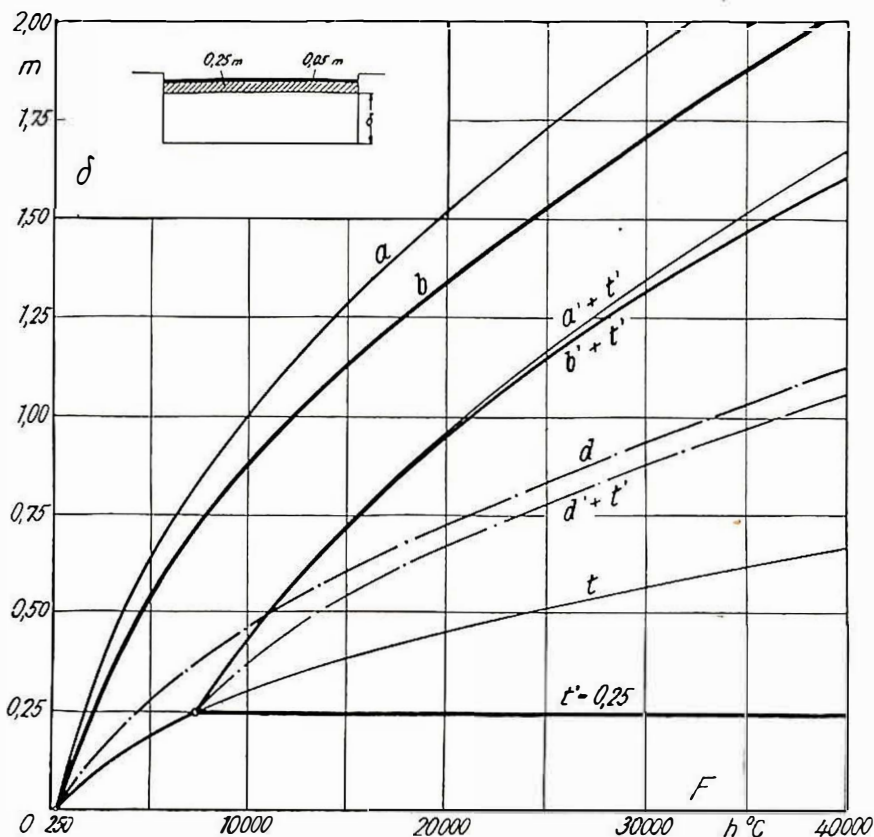


Fig. 67. Asphaltdekke, (0,05 m asphalt over 0,25 m. stein). Tykkelse  $\delta$  av stein (a), grus (b), koksaske (d) og trekull (t) alene, samt stein (a'), grus (b') og koksaske (d') i kombinasjon med 0,25 m trekullunderlag (t'). avhengig av frostmengden. Overbyggingen opptar 250 h°C.

Fig. 70 og 71 viser som eksempel for betongdekke og grusdekke sammenhørende skikttykkeler for trekullunderlag og masseutskiftningsmateriale for bestemte frostmengder, avhengig av den i trekullunderlaget opptatte frostmengde  $T$ , hvorved alltid er forutsatt at det samlede skikt i sin helhet utnyttes til opptagning av telen. Kurvene fig. 70 og 71 kan benyttes til å utta sammenhørende verdier for andre skikttykkeler av underlaget enn de 0,25 m trekull for hvilke fig. 65 og 66 er tegnet.

#### IV. Sluttbemerkninger.

De i fig. 57, 58, 62 og 65 til 69 opptegnede skikttykkeler, avhengig av frostmengden  $F$ , tenkes benyttet til å ta ut utskiftningsmaterialers nødvendige skikttykkelse, når den maksimale frostmengden på vedkommende sted er kjent. Det vil derfor være tilrådelig for den praktiske anvendelse i forbindelse med disse kurver å oppsette tabeller over de maksimale frostmengder og den største varmeutstråling som på forskjellige steder i Norge er blitt konstatert ved de foreliggende meteorologiske observasjoner. Etter ønske kunne man i disse tabeller også opppta den for de viktigste profilformer og hyppigst benyttede ut-

skiftningsmaterialer nødvendige skikttykkelse for den maksimale frostmengden på vedkommende sted, uttatt av de i dette arbeid gitte kurvebilder.

For å finne den dybde  $h$  som må utgraves, tillegges til  $\delta$  overbyggingens tykkelse, ved jernbaneprofiler 0,5 m, ved veidekkene summen av de i tabell 25 anførte tykkeler av veidekkenes enkelte lag.

På grunnlag av de utførte laboratorie- og frilufts-forsøk er man berettiget til å anta at de i de anførte kurvebildene oppgitte tykkeler  $\delta$  vil by tilstrekkelig sikkerhet med omsyn til telen. En fullstendig gjennomfrysing av materialet så som antatt ved beregningen, vil nemlig bare kunne inntre ved den maksimale på vedkommende sted opptrædende frostmengde  $F$ , under den forutsetning at det under hele frysperioden (d. v. s. over hele vinteren) hersker barfrost og at stedet er utsatt for sterkt vind.

Under de virkelig opptrædende forhold vil varmeovergangsmotstanden mellom jordoverflaten og luften, og i særdeleshet sneen virke kuldeisolering og redusere teleydbden [sig. 2, s. 107].

Da de foreliggende beregninger utelukkende støter seg på laboratoriemessige undersøkelser og på observasjoner utført ved friluftsfelte av meget begrenset utstrekning, ansees som nødvendig at resultatene praktiske brukbarhet etterprøves ved jernbane- og veianlegg, som er utført etter de opp-

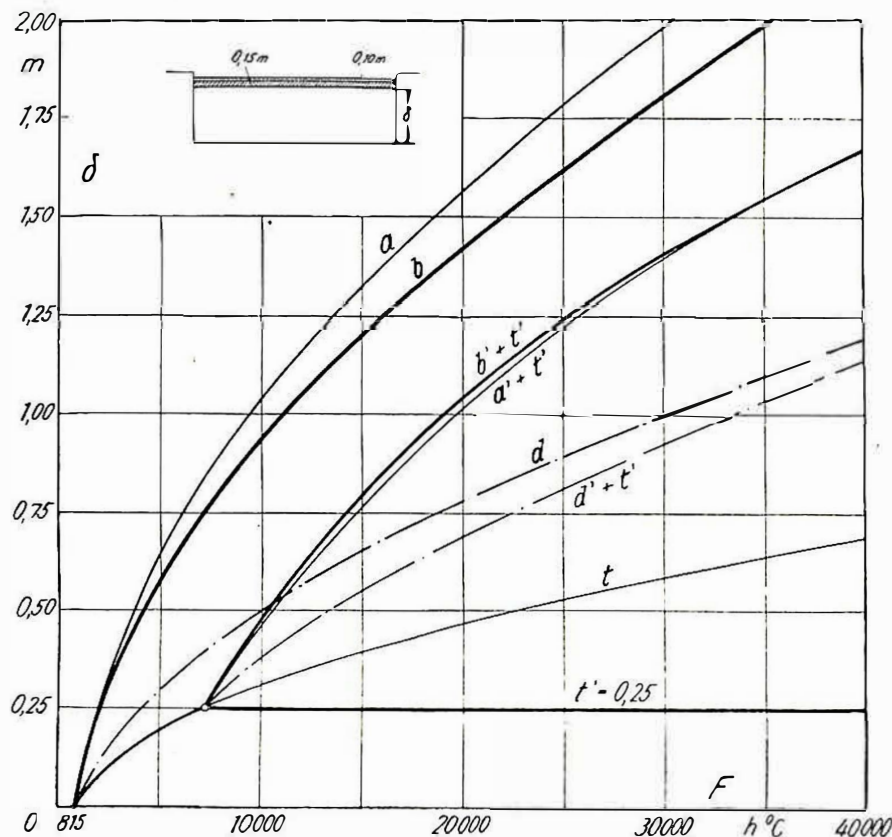


Fig. 68. Trebrolegging (0,1 m treklosser over 0,15 m betong). Tykkelse av stein (a), grus (b), koksaske (d) og trekull (t) alene, samt for stein (a'), grus (b') og koksaske (d') i kombinasjon med 0,25 m trekullunderlag (t'). Overbygningen opptar 815 h°C.

gitte skikttykkeler. Herved ville være onskelig — gjennom en lengere tid og under forskjelligartede fryseperioder — å utføre målinger såvel av tedybden som av vanninnholdet i de forskjellige materialsikter. I forbindelse hermed vil man antageligvis også kunne finne fram til den gunstigste anordning av dreneringen av masseutskiftningsprofilene.

#### V. Zusammenfassung.

Die in dem ersten und zweiten Teil dieser Arbeit [1 und 2] mitgeteilten Ergebnisse eksperimenteller und theoretischer Untersuchungen wurden benutzt als Grundlage für die Bestimmung der Schichthöhe von Austauschmassen, abhängig von der aufzunehmenden Frostmenge  $F$ .

Der erste Abschnitt enthält Angaben über den bei der Berechnung angenommenen Wasserinhalt der Austauschstoffe und Strassendecken mit zugehörigen Werten der Kältespeicherung  $q$  in kcal/m<sup>3</sup>, sowie der Wärmeleitzahl  $\lambda$  in kcal/mh°C, Z. T. 24.

Die Berechnungen wurden durchgeführt für Frostmengen  $F$  von 0 bis 40 000 h°C und umfassen das gesamte Gebiet, das für den norwegischen Eisenbahn- og Strassenbau in Frage kommt.

Bei der Berechnung ist der Einfluss der Frostmenge (Lufttemperatur), sowie der nächtlichen Aus-

strahlung der Erdoberfläche, berücksichtigt, indem im Interesse der Vereinfachung der Rechnung abgesehen ist von den wechselnden Einflüssen des Übergangswiderstandes  $1/\alpha$  zwischen Erdoberfläche und Luft, der Schneedecke und der vom Grunde aufsteigenden Wärme, die sämtlich das Eindringen des Frostes hemmen.

Die Berechnung wurde für mehrere von Prof. Heje angegebene Eisenbahn- und Strassenprofile durchgeführt. (Abschnitt II und III.)

Die Ergebnisse der Berechnung sind den Kurvenbildern Abb. 57, 58 und 62 für Eisenbahnprofile sowie Abb. 65—69 für Strassenprofile zu entnehmen. In den Abbildungen ist die erforderliche Schichthöhe des Austauschmaterials  $\delta$  (= Frostgrenze) in m abhängig von der Frostmenge  $F$  in h°C dargestellt. Es wurde mit folgenden Austauschstoffen gerechnet: a) Stein, b) Grus, c) Lokomotiv-Flugasche, d) Koksasche, t) Holzkohle und m) Moorböden.

Ausserdem mit Kombination eines der unter a—d angeführten Stoffe mit einer Unterlage von Holzkohle oder Moorböden. Die Schichtstärke der Unterlage wurde mit 0,25 m angenommen.

Die Hülfsbilder Abb. 59—61, 63—64 und 70—71 geben für bestimmte Frostmengen zusammengehörige Schichthöhen von Austauschstoff und Unterlage. Sie können zur Ermittlung der erforderlichen Schicht-

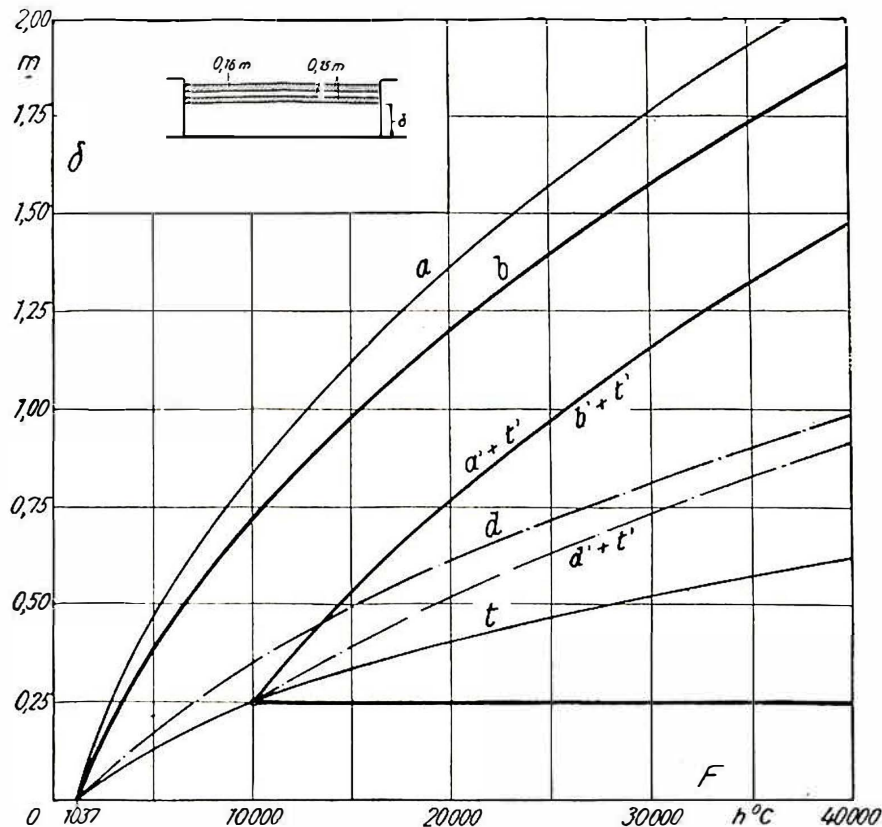


Fig. 69. Steinbrolegging (0,16 m stein, 0,15 m grus, 0,15 m stein). Tykkelse  $\delta$  av stein (a), grus (b), koksaske (d) og trekull (t) samt av stein (a'), grus (b') og koksaske (d') kombinert med trekullunderlag ( $t' = 0,25$  m). avhengig av frostmengde  $F$ . Overbygningen optar 1037 h°C.

höhe bei abweichender Dicke der Unterlage benutzt werden.

Bei Anwendung der Diagrammwerte muss zunächst die an dem betreffenden Orte mögliche maximale Frostmenge und Wärmeausstrahlung der Erdoberfläche aus meteorologischen Beobachtungen der Lufttemperatur für die gesamte Frostperiode er-

mittelt werden. Die dem berechneten Werte  $F$  zugehörige Schichthöhe des Austauschstoffes ist den Abbildungen zu entnehmen und der Ausführung zu Grunde zu legen. Der erforderliche gesamte Aushub  $h$  ergibt sich unter Zuschlag der Höhe des Ueberbaues. (Es ist erwünscht, dass in Ergänzung der vorliegenden Diagramme Zahlentafeln über die

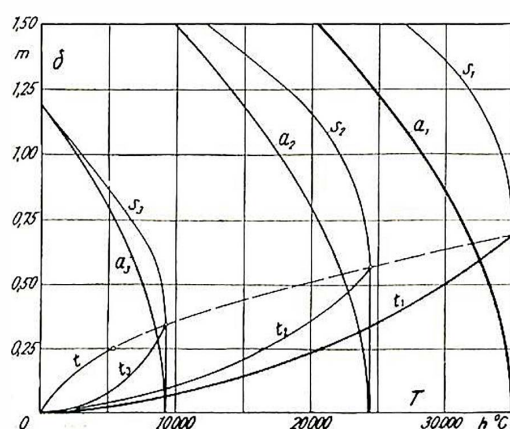


Fig. 70. Hjelpekurver til fig. 65. Betongdekket. Sammenhørende skikthøyder for trekull ( $t_1$ ) og stein ( $a_1$ ) ved konstant frostmengde  $F_1 = 35055$ ,  $F_2 = 24455$  og  $F_3 = 9380$  h°C, avhengig av den i trekull opptatte frostmengde  $T$ . (Betongdekket optar 55 h°C).

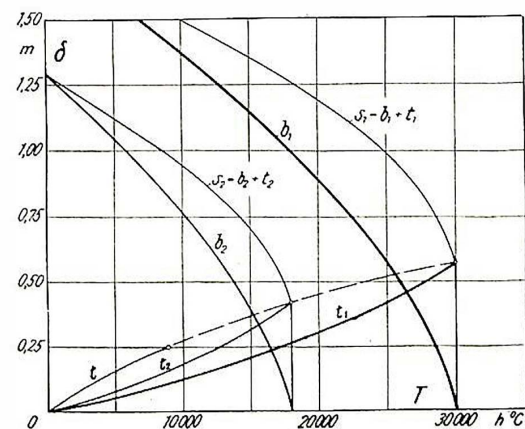


Fig. 71. Hjelpekurver til fig. 66. Grusdekket. Sammenhørende skikthøyder for trekull (t) og grus (b) ved konstant frostmengde  $F_1 = 30520$  og  $F_2 = 18520$  h°C, avhengig av den i trekull optatt frostmengde  $T$ . (Overbygningen optar 520 h°C.)

maximale Frostmenge der für den Eisenbahn- und Strassenbau wichtigen Gebiete Norwegens bearbeitet werden.)

Auf Grundlage der Ausführungen in [2, Abschnitt III] kann angenommen werden, dass die aus den Diagrammen entnommenen Austauschstiefen ausreichende Sicherheit bieten, dass der Frost nicht in tieferliegende Schichten eindringt.

Da die angegebenen Diagramme sich jedoch nur auf Laboratoriumsversuche und Messungen in Feldern sehr beschränkter Ausdehnung stützen, wird emp-

fohlen die praktische Brauchbarkeit der Ergebnisse an Eisenbahn- und Strassenprofilen nachzuprüfen, die auf der angegebenen Grundlage berechnet und ausgeführt sind.

#### VI. Litteratur.

[1 og 2] A. Watzinger, E. Kindem og B. Michel-sen: Undersøkelser av masseutskiftningsmaterialer for vei- og jernbanebygning.

Meddelelser fra Veidirektøren 1938, nr. 6 (særtrykk nr. 473) og 1941, nr. 7 og 8.

## KUNGL. VÄG- OCH VATTENBYGGNADSSTYRELSEN I SVERIGE

høytidelig holdt den 18. september d. å. 100-årsdagen for sin virksomhet med en fest i Stockholms konserthus i nærvar av H. M. Kongen, flere medlemmer av det kgl. hus samt ledende menn innen statsforvaltningen og vei- og vannbygningsvesenet.



Generaldirektör Bolinder.

Etter avsyngelse av kongesangen ledsaget av Svenska teknologföreningens orkester, ønsket Väg- och Vattenbyggnadsstyrelsens sjef, generaldirektör Bolinder, de tilstedevarande velkommen. Orkestret fremførte derpå en festkantate, som var komponert av orkestrets dirigent, sivilingeniør Tage Bilde.

Festtalen ble holdt av generaldirektørens stedfortreder, byråsjef Axel Valsinger, som redegjorde for Väg- og Vattenbyggnadsstyrelsens tilblivelse samt dens organisasjon og arbeidsområde i de forløpne 100 år. Herr Valsinger nevnte bl. a. at mens den første periode av styrelsens historie vesentlig var preget av en livlig virksomhet på vannkommunikasjonenes område, stod den annen periode nærmest i jernbanebyggingens tegn, idet Statens jernbanebygging i årene 1882—88 var underlagt Väg- och Vattenbyggnadsstyrelsen som dessuten helt fra

jernbanebyggingens begynnelsen har vært overdratt kontrollen med de private jernbaner. Først i begynnelsen av 1900-årene — etter automobilismens gjenombrudd — kom veibyggingen til å innta en mer fremtredende plass i Väg- og Vattenbyggnadsstyrelsens virksomhet, og fra dette tidspunkt kan tredje periode av dens historie sies å ha tatt sin begynnelse.

Etter at automobilen hadde fått praktisk anvendelse i trafikken innlededes en ny epoke for veiene.

I Sverige var det i 1914 en automobil pr. 1200 innbyggere, mens det i 1939 var en bil på hver 25 innbyggere. Det offentlige veinett hadde i 1914 en lengde av 63 000 km og ble i årene 1914—39 utvidet med ca. 25 000 km. I samme tidsrum var det svenska veivesen gjenstand for en gjennomgripende nydannelse.

Denne nydannelsen var i høy grad avhengig av spørsmålet om forandringer i veilovgivningen og arbeidet hermed pågikk til 1934, da det ble vedtatt en ny veilov til avløsning av veiloven av 1891. Den nye veilov trådte i kraft 1. januar 1937. I mellomtiden var det gjennomført mange forandringer vedkommende veibyggingen og veivedlikeholdet både av teknisk og finansiell art.

Ifølge veiloven av 1934 har Väg- og Vattenbyggnadsstyrelsen den sentrale ledelse av veivesenet såvel i teknisk som økonomisk henseende. Styrelsen består nå av en generaldirektör og sjef samt seks byråsjefer, av hvilke en tillike er broinspektør og en tillike trafikkinspektør. Byråsjefene forestår hver sitt kontor, nemlig veikontoret, brukkontoret, havnekontoret, jernbane- og luftfartskontoret, veitrafikk-kontoret og regnskapskontoret.

Etter den nå gjeldende instruks omfatter Väg- och Vattenbyggnadsstyrelsens virksomhet behandling av tekniske, økonomiske, regnskapsmessige og administrative saker som angår:

Anlegg, omlegning eller forbedring samt vedlikehold av veier, broer, ferjer, kanaler, sluser, havner og andre lignende foretagender.

Sjøers og vassdrags utnyttelse for skibsfart, fløting eller andre industrielle behov og i forbindelse hermed nødvendige anlegg samt anlegg av vann- og avløpsledninger.

Beskyttelsesarbeider mot utgravning og oversvømmelse av sådant omfang og beskaffenhet med hensyn til almene interesser at de bør utføres av staten og for dens regning. Private jernbaner for offentlig trafikk.

Veitrafikken.

Automobilkontrollen.

Den sivile luftfart.

Under normale forhold har styrelsen i spørsmål som berører militær virksomhet i fred eller krig å samarbeide — alt etter sakens art — med sjefen for forsvarsstaben, sjefen for arméen, sjefen for marinen og sjefen for luftvåpenet.

\*

Dette var et kort utdrag av byråsjef Valsingers festtale. Etter talen fulgte et musikknummer og overlevering av tallrike hyldningsadresser såvel fra nabolandene som fra svenske institusjoner.

Fra det norske veivesen ble sendt følgende adresse:

*Kungl. Väg- och Vattenbyggnadsstyrelsen,  
Stockholm.*

Norges veivesen hilser Väg- och Vattenbyggnadsstyrelsen på 100-årsjubileet.

Styrelsens målbevisste virksomhet har fort Sverige frem blant de første nasjoner på sine arbeidsfelter. — På veivesenets område har styrelsens systematiske vitenskapelige arbeider og praktiske forsøk ført frem til metoder som har fått internasjonal verdi og i første rekke er kommet hele Norden til gode. Norges veivesen gratulerer og sender vår hjerligste hilsen.

Til denne hilsen vil vi gjerne føje vår aller beste takk for det overordentlig behagelige og for oss nyttige samarbeide som i mange år har funnet sted.

Oslo, den 16. september 1941.

A. Baalsrud.  
(segl).

## VEIVESENETS KNOTTHUGGERI I BRENNMOEN, ØSTFOLD

*Av avdelingsingeniør J. Winge.*

Utover vinteren 1940/41 blev knappheten på god generatorved merkbar, samtidig som etterspørselen øket. En naturlig følge av disse forhold vilde også uvægerlig en prisstigning bli.

For å sikre tilgangen på godt brennstoff til rimelig pris, gikk man ved nordre avdeling til innkjøp av 300 favner halvtør svartor, gråor samt en del asp alt i vanlig 60 cms lengde. Man regnet med at sommertørk på den ferdige knott vilde senke fuktighetsgraden til brukbarhet uten anvendelse av kunstig tørring — og dette har vist seg å slå til.

Med et ukentlig forbruk av 25 hl på hvert av avdelingens egne 6 aggregater, og dessuten underhold av en del leide biler, skulde dette kvarterm stekke til for 45 uker.

Kappingen utføres med to balancesager med 1 blad og 2½ hk motor. En flink sagmester holder 2 huggere, og greier dessuten tilførselen av favnved.

Etter utført måling gir en favn alm. størrelse 27,5 hl knott.

Arrangementet med kappingen forøvrig fremgår av fig. 1.

Fra huggeriet føres knotten opp i lageret på transportbånd. Driften blir således helt kontinuerlig da ingen oppstuvning forekommer.

Fig. 2 og 3 viser det oppstolpede lagerskur i to etasjer, 6 × 12 m med nettingvegger. Det øverste gulv har V-form og det undre møneform. Ved skjønsom tapping fra øvre til nedre gulv, blir etterhvert all knott luftet. Med denne behandling sank fuktighetsgraden hurtigere enn man hadde

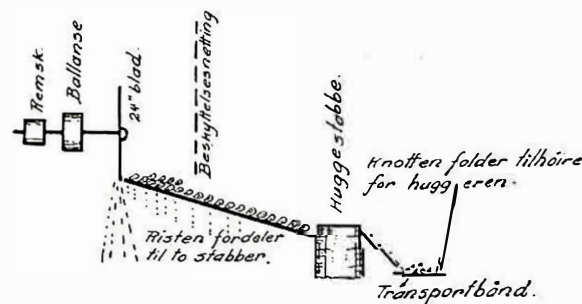


Fig. 1.

antatt. På sidene av nederste gulv er anordnet tappelyrer for ifylling i sekker eller annen lagring.

I den nedenfor oppgitte pris pr. hl. er medregnet amortisasjon av hele anlegget — oppførelse og rivning m. v. — i og med de 300 favner eller på 8250 hl knott.



Fig. 2. Lagerskur for generatorknott.

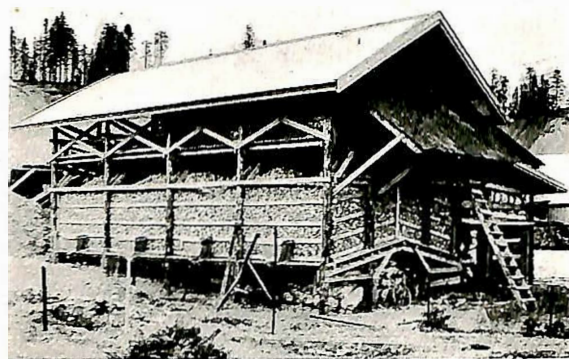


Fig. 3. Lagerskur for generatorknott.

Videre er det regnet med feriepenger samt 5 % administrasjon, stabling og tekking, innkjøp av 2000 papirsekker og lagring, kraftforbruk m. v.

Innkjøp og transport av favneved kom i gjennomsnitt på kr. 34,90 pr. favn.

Akkordprisen på knottingen ble satt til kr. 19 pr. favn, og fylling av sekken og lagring til kr. 0,25 pr. sekk. Fortjenesten har ligget på kr. 1,70 pr. time. Ydelsen har vært ca.  $2\frac{1}{8}$  favner pr. sag pr. dag.

Etter at alle utgifter er dekket blir prisen i Brennmoen kr. 3,10 pr. hl mens prisen på tilsvarende vare fra produsent her i Østfold nå er kr. 5,18 med sekkk. Fortjenesten på det nevnte kvantum skulle således dreie seg om netto kr. 17 000.

Utenom dette har man den store fordel at man til enhver tid har knott på lager og unngår derved heft og tidsspill samt ekstra kjøring for å hente brennstoff i små partier.

Da forholdene kan utvikle seg slik at vi bare har vår knott som drivkraft å stole på, vil denne rapport muligens også ha interesse utenfor Østfold.

## VEIKNUTER

Av avdelingsingeniør J. Halfstad.

Veidirektøren ba meg for en tid siden skrive litt om veiknuten på den Sørlandske hovedvei — Riksvei nr. 40 — ved Kokkersvoll i nærheten av Langangen i Eidanger.

Innledningsvis vil jeg da prøve å gi en liten orientering om problemet i sin alminnelighet.

En knute — «kurre» — på tråden er ikke av de ting en setter synderlig pris på i det daglige liv. Uttrykket skriver seg antagelig fra seilskutenes tid, da en knute på tauverket ikke var særlig velkommen når den skulle gjennem en blokk eller lignende og mange er vel de «velsignelser» som er blitt lyst over opphavsmannen, men selvfølgelig kan også ombord anvendelsen av en knute være både riktig, nødvendig og fullt forsvarlig, f. eks. i hart vær, under berging av seil, kort sagt i et knipetak.

Slik er det også med veiknuter, de kan være berettiget. Og i det kronglete terrenget som vi har i Sør-Norge er jeg overbevist om at anvendelsen av veiknuter i mange tilfelle er både teknisk og økonomisk forsvarlig — ja, endog berettiget. Så-

vidt meg bekjent finnes der hele 3 veiknuter på ruten Oslo—Stavanger, 1 ved Bandaksli i Telemark og 1 i Geiranger. Det faller således 4 på Sør-Norge hvorav 2 på Telemark.

Generelt kan en si at en veiknute kan forsvares eller endog bør anvendes, når en med oppgitt maks.stigning ikke kan komme fram i en bestemt hovedretning eller nå et «rimelig lende», fordi der ved en geologisk forkastning eller en tverrdal plutselig ikke «er mere terreng å henge stigningslinjen i». Hvis det da dreier seg om f. eks. en 6—8 m høydeforskjell før en kan fortsette med linjen i den ønskede hovedretning og kanskje i bra terreng, er det helt riktig og naturlig å slå en knute på «linia» istedenfor å gå til annen kunstig utvikling av linjen med f. eks. 2 slyng eller å fortsette med viadukt, bru eller høy fylling over tverrdalen og kanskje videre i kostbart lende.

Slik var i allfall tilfelle, da jeg etter moden overveielse og etter et mindre vellykket forsøk med en «kunstig» d. v. s. galt plasert knute i relativt flatt lende stakk førnevnte veiknute i Lardal på ned-

stigningen til Lægendsalsveien med stram  $1/12$ , se fig. 1.

Denne knute ble ikke bygget, da en etter utallige befaringer fant en nordligere og bedre linje-føring i en helt annen retning og med nytt endepunkt ca. 1 km nordenfor det som var meg oppgit i 1913.

Hvordan forholdene lå an ved Kokkersvoll i Eidanger med hensyn til bebyggelse, isdam og isrenne derfra ned til Langangsfjorden, da veiknuten ble anlagt der i 1859, har jeg dessverre ikke rede på, men rent teknisk kan jeg ikke forstå at det er noe å innvende mot den. Det gjelder her nemlig også å foreta en kunstig linjeutvikling for å komme fram i en bestemt retning og i et usedvanlig «rotet» og kostbart terrenget med en rivende bekke i bunnen. Som et kuriosum kan nevnes at linjen passerer denne bekken hele 4 ganger på en strekning av ca. 300 m regnet etter bekken, og at høydeforskjellen mellom øverste og nederste stikkr. (resp.  $2 \times 2$  og  $2 \times 2,5$  m) er ca. 50 m. I selve knuta krysses bekken 2 ganger og mellom disse to stikkrennere krysses dessuten en tverrbekk med en  $0,8 \times 0,8$  m stikkrenne.

Av fig. 3 vil sees den vakre, patinerte hvelvbru, som jeg med sorg har måttet rive, da den ikke lenger tilfredsstilte kravene til fremkomst med moderne trafikkmidler. At den måtte rives beviser imidlertid at knuten opprinnelig var riktig plasert i terrenget, og den nye bru er da også oppført så nær den gamle som det var mulig av hensyn til arbeidets utførelse.

Det nye byggverket — «Svingbrua» — som det lokalpopulært kalles — var tenkt utført i huggen stein (eller i allfall bruddstein i cement), men den knappe tid som var til rådighet under arbeidet (høsten 1940) gjorde det uomgjengelig nødven-

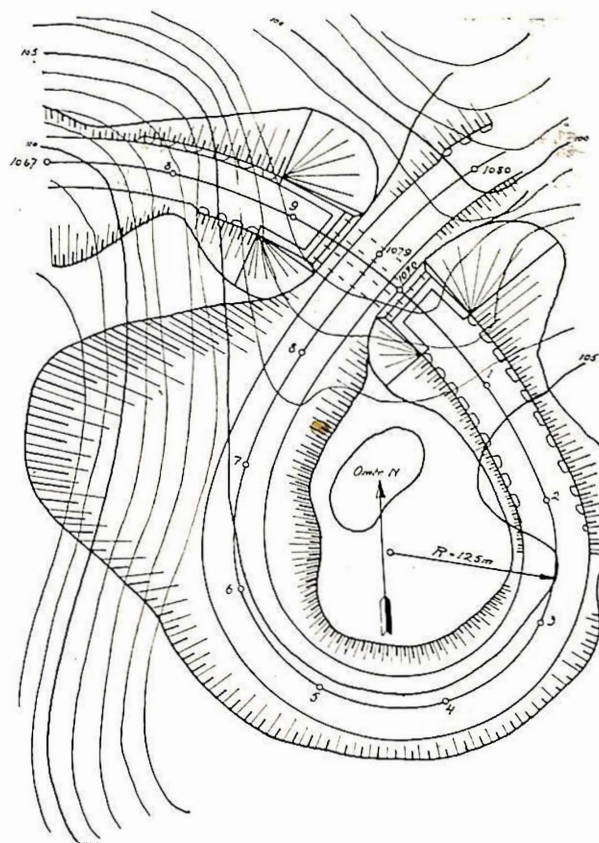


Fig. 1. Situasjonsplan for knuteveiprojektet Slemdal—Lardal.

dig å anvende betong med ytre bordforskalling. De store kjedelige betongflater aktes «kledt» med råhus-villvin, som er tiltrukket ved Buer planteskole i Gjerpen, og jeg håper derved at utseendet fra nedsiden ikke vil virke alt for skjemmende i landskapet. Om råhusvillvinen vil trives på skyg-

*Belastningsklasse 1 200m kj.b. br+2 sidekanter á 0,25m.*

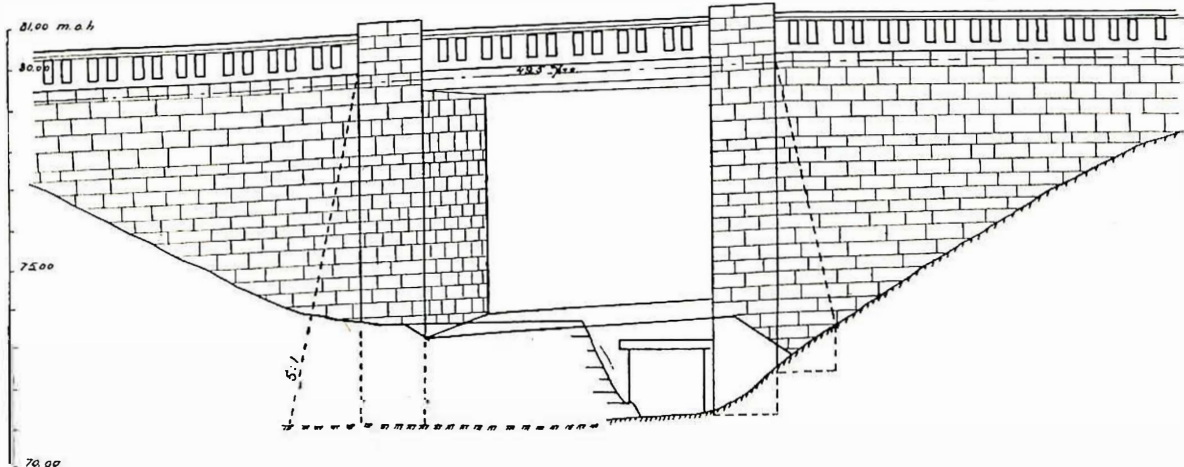


Fig. 2. Kokkersvoll bru.



Fig. 3. Knuten i Langangen, bygget i 1859, nå revet, avløst 2. januar 1941 med ny.

gesiden tør være tvilsomt, men her er flatene ikke så dominerende.

De konstruktive ledd skal bli pusset, d. v. s. malt med kalkblannet cementvelling, hvortil anvendes skummet melk isteden for vann. (Etter erfaringer fra Amerika skal den slags puss stå mange ganger lenger enn *all annen og kostbar puss*).

Da detaljene kanskje er vanskelig å finne fram av fig. 2, skal her nevnes de viktigste: Stigningen under bruhaugen 62,7 % og avtar til 49,5 % over bruplaten. Både ovenfor og nedenfor er 80 % anvendt. Selve knuten er stukket som en emniscate med  $R = 44$  m for platen og  $R = 100$  m for frontmurene,  $R_{min.} = ca. 12,5$  m. Lysvidden er 7,00 m = planeringsbredden for veiomleggingen forørig og = kjørebanebredden for bruplatene. Bredden mellom rekverkene er 7,5 m og total platebredde = 8,0 m. I skarpeste kurven er planeringsbredden 9,0 m. Centerlinjen for knuten



Fig. 4. Kokkersvoll bru. Ny bru med den gamle i bakgrunnen.

har en lengde av 110,5 m og der er «vunnet» 6,10 m i høyde. Minste fri høyde under betongplaten er 5,50 m. Platen er 56 cm tykk med hovedarmering av 15 st. 20 mm ø-jern pr. l. m. Det vil ses at der faktisk ikke finnes en eneste rett vinkel på bruhaugen. Forskallingen bød da også på mange problemer for oppsynsmann og forskallingssnekere, men det skal sies til deres ros at de løste dem praktisk og lettint. Selv stikkrennen langs øvre frontmur måtte legges i en S-kurve for å gå klar av nederste pillasterhjørne.

Hva omkostningene angår har jeg ikke hatt tid til å ekstrahere nøyaktig det som faller på selve bruhaugen og på et f. eks. 200—300 m langt parti av ny vei inkl. knuten til sammenligning med andre kostbare partier av Larviksveiens ombygging (utvidelse), men skal komme tilbake til dette, ifall det måtte være av interesse.

Jeg håper det vil fremgå av denne lille utredning at *en knute også kan være en løsning*.

## TRERØR FOR DRENERING OG VANNLEDNING

I jordens avgrøfting legges det ned store kapitaler år om annet her i landet. Hvor meget akkurat har en ingen oppgave over, men et holdpunkt har en i størrelsen av statens grøftingsbidrag. I årene 1934—1935 ble det med statsbidrag grøftet 45 000 mål dyrket mark gjennomsnittlig pr. år. Regner en med en utgift (som i Vestfold fylke) av gjennomsnittlig kr. 55,00 pr. mål skulle den samlede utgift bli ca. 3,5 mill. kr. i året. Dessuten utføres jo en mengde grøftingsarbeid uten statsbidrag omkring på jordeiendommene.

Når en tar i betrakting hvor viktig det er å ha vel grøftet jord og hvor forholdsvis kostbart det er å grøfte, vil en også innse nødvendigheten av at arbeidet blir solid utført, så at gårdbrukeren kan regne med en lang funksjonstid for grøftene. Det kan da interessere å høre at et Oslofirma,

Landbruk M/A, har brakt på markedet en ny norskbygd boremaskin for trerør, den skulle løse problemet å skaffe lukkemateriale fra gårdbrukerens egen skog, hvilket spiller en rolle i en tid da det er så knappe tilførsler utenfra både av brensel til teglsteinbrenneriene og av materialer for galvaniserte rør. Utgiften ved å benytte et slikt boreanlegg er også minimal sammenliknet med hva det koster å kjøpe ferdige teglsteinsrør. Våre gårdbrukere har jo alltid hatt lite disponibel kapital, og så altfor ofte har de måttet utsette og utsette en høyst påkrevd drenering på grunn av kapitalmangel.

Maskinen borer både 2" og 3" drenrør som deretter kantes inn til sekskantede 60 cm lange rør. Virket som blir igjen i røret representerer bare  $\frac{1}{3}$  av den opprinnelige kubben, resten blir

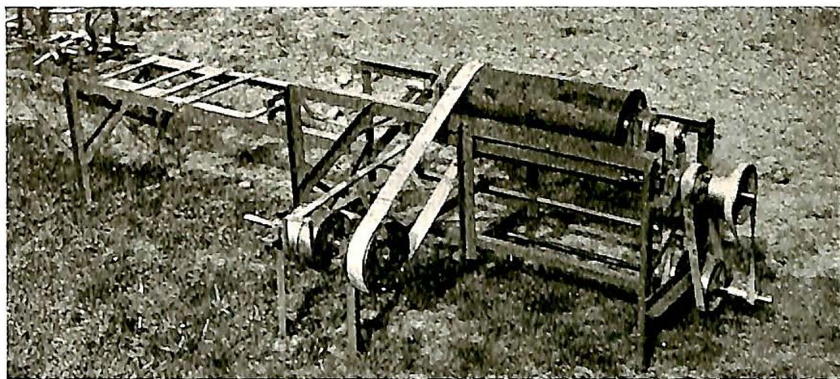


Fig. 1.

vedavfall. Drenrørborene er hule og borer ut henholdsvis 1" og 2" rundpinner som kan kappes til utmerket generatorved (fig. 1).

Også på et annet felt vil den nye boremaskinen bety et fremskritt. Vannspørsmålet har alltid vært aktuelt i norsk gårdsbruk og er det fremdeles. Selv i de fylker som er fremst på området, Østfold og Vestfold, har bare 67 % av gårdsbruken vann lagt inn i hovedbygning, fjøs og stall. Det er gjerne kvinnene på gården som må slite med vannbæringen, og det er virkelig et slit som kan krøke ryggen rent for tidlig og gjøre bitter i sinn. Men nå har vi da fått en maskin som kan bore vannledningsrør av inntil 4 m langt virke hentet fra gårdbrukerens egen skog. Man får dem i dimensjoner på 1½" og 2". Til rørforbindelse benyttes en støpt hylse som koner av begge veier, laget av en legering som er meget motstandsdyktig mot rustdannelse. Maskinen freser ut et spor til hylsen, samtidig med at den borer hullet. Skjøtehylsens innvendige diam er  $1\frac{1}{8}$ " større enn borehullets, så det bli ren solid trevegg mellom borehullet og skjøtehylsens innvendige vegg. Stokken kappes i vinkel. Vannet kommer således aldri i forbindelse med skjøtehylsen, og man er sikret mot rustdannelse og derav følgende forurensing av vannet. Dette er noe som ikke bare privat-husholdninger, men enda mer hoteller, sanatorier, sykehus, internater etc. har den største interesse av, og salget av trerør til vannledning har derfor også tatt et kraftig oppsving i de siste årene. Foruten den fordel ved trerør at det ikke kommer rustpartikler i vannet, må også nevnes den ting at en trerørlednings levetid sammenlignet med ledning av galvaniserte rør blir så mye lengre; det

kan jo ikke bli tale om noen jernsvampdannelse som suksessivt tetter igjen røret.

Maskinen som veier ca. 500 kg kan bore inntil 130 m vannledningsrør pr. dag og inntil 100 stk. 2" drenrør pr. time.

Det er også konstruert en spesiell kantesag for å kante korte kubber til sekkskantede rør for å gjøre dem mer tjenlige som drensrør.

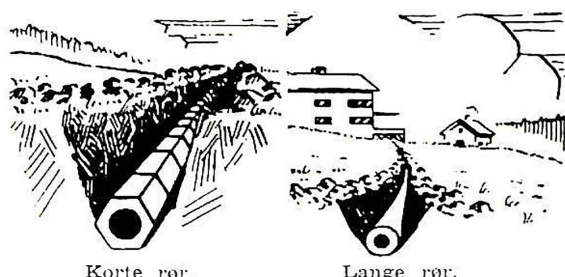


Fig. 2.

Fabrikanten praktiserer det prinsipp bare å selge én maskin til hvert distrikt for å hindre vettlös konkurransen. Da den nye maskinen dertil er lett å transportere, den kan tas fra hverandre i 5 deler, synes alt å ligge vel til rette for et samarbeid bygdevise om anskaffelse og felles utnytting av et slikt boremaskinanlegg. I den retning går også en uttalelse fra Selskapet Ny Jord som har i drift en maskin i Sølør.

Praktisk ville det være å installere en boremaskin ved et sentralt liggende sagbruk, hvor gårdbrukeren kunne levere sitt lass med stokker og få med rør tilbake.

(Efter tidsskriftet «Kvalitet».)

## ET NÆRINGS LIVETS VEISPØRSMÅL

Under denne overskrift skriver «Fedrelandsvennen» i Kristiansand nylig bl. a. følgende:

«Med vei skal land bygges, er et ord som blir brukt ofte, og her i Norge er det et sant og riktig ord. Det gjelder ikke bare vei fra bygd til bygd,

fylke til fylke og landsdel til landsdel, men det gjelder også grønneveier, gårdsveier, skogsveier, bureisingsveier og seterveier til fjells.

For syv år siden begynte Staten å gi bidrag til bureisings- og seterveier, og tiden har vist at det er sterkt behov for slike veier. Det har nok

fra uminnelige tider vært veier til fjells, og innover fjellviddene, men det er sant som det heter i folkevisen:

Lia var bratt,  
eg gjekk og eg datt,  
eg kom ikkje fram før langt på natt.

I de syyv år som er gått siden seterveisaken ble tatt opp, er det brukt 4,4 millioner kroner til å støtte arbeidet med bureisnings- og seterveier og det er resultert i 350 mil slike veier. Gamle veier er utbedret og nye er bygget, kløvhestene og folk som drar til seters har fått det litt mindre slit-somt, og det er åpnet mulighet for mer samliv mellom bygden og seteren og for et mer modernisert seterstall. Men 350 mil er bare en liten begynnelse på et stort arbeide, på et næringslivets veispørsmål.

Byggingen av seterveier er et viktig ledd i arbeidet for en bedre utnyttelse av fjellviddene, særlig ved å legge forholdene til rette for sau- og geitedrift og ved fremme av rasjonell beitekultur. En viktig rolle spiller det naturligvis også at en, når det blir bedre veier til setrene, kan få meget mer høy på seterløkker enn hittil. Og selv nå er årsavlingen omkring 54 000 tonn, og høy på seterløkker og på utslåtter omkring 81 000 tonn.

Hva fjellet i framtiden kan yte i havn og slått vet ingen, en vet bare at vårt land utenom dyrket jord, natureng og produktivt skogland har 223 millioner mål såkalt «kennen mark» og at seterløkkene utgjør bare 747 000 mål, og altså bare er som en liten prikk på fjellets kolossale vidde, en vidde som må erobres skritt for skritt i første rekke ved at nye veier som et Sesam åpner for det fjellet har å gi oss.»

Det er, som man vil se, ganske store beløp som ved siden av bevilningene på veibudgettet hvert år anvendes til bygging av veier i vårt land. At resultatet heller ikke er dårlig fremgår av ovenstående, og det kan i denne forbindelse nevnes at flere av våre mest kjente riksveier opprinnelig har vært sådanne seterveier, som staten har overtatt og utbedret således at de i dag er skattede bil-turistveier.

Forøvrig vil den i «Meddelelser fra Veidirektøren» nr. 5/1933 inntatte artikkel gi et bilde av hvorledes et lite distrikt gjennom flere år har hatt øynene åpne for sådanne veispørsmål og oppnådd gode resultater.

Etter Landbruksdirektørens «Melding om de offentlige tiltak til opphjelp av landbruket i året 1939» er de i tidsrommet 1/1 1934—31/12 1939 gitte tilskudd til bureisnings- og seterveier fordelt på fylkene således:

Fylke	Antall veier	Lengde km	Tilskudd kr.
Ostfold .....	—	—	—
Akershus .....	1	1.8	1 000
Hedmark .....	156	702.6	560 115
Opland .....	182	995.5	700 365
Buskerud .....	50	218.7	181 580
Vestfold .....	—	—	—
Telemark .....	14	37.7	60 650
Aust-Agder .....	38	75.1	151 700
Vest-Agder .....	34	57.2	154 300
Rogaland .....	32	52.2	142 600
Hordaland .....	36	85.5	168 950
Sogn og Fjordane ...	59	151.7	335 100
Møre og Romsdal ..	120	267.7	433 850
Sør-Trøndelag .....	90	369.5	363 350
Nord-Trøndelag .....	36	123.4	218 400
Nordland .....	70	183.2	467 050
Troms .....	43	138.0	428 607
Finnmark .....	4	9.4	20 300
Sum	965	3497.9	4 386 917

## PERSONALIA

Ansettelse i veivesenet.

Ingeniør Jens Øiestad er konstituert som assistentingeniør i Telemark fylke.

Som distriktskasserere i Opland fylke er konstituert Asmund Johnsen ved Brandbu veiavdeling.

Fru Betzy Leira ved Valdres veiavdeling.

Lars Nygård og Karl P. Bruun er konstituert som tekniske assistenter i Troms fylke.

Som kontorister av klasse I er konstituert: Fru Else Thoner i Akershus fylke. Hjalmar Fortun i Sør-Trøndelag fylke. Frk. Ragna Stavrum i Nord-Trøndelag fylke.

Som kontorister av klasse II er konstituert: Andreas Levang i Opland fylke. Frk. Liv Nordbotten i Sør-Trøndelag fylke.

Erling Mo er konstituert som oppsynsmann i Opland fylke.

## NYE FYLKESVEIKARTER

Følgende nye fylkesveikarter er utkommet:

Buskerud fylke, 2 blad i målestokk 1:200 000. Pris kr. 3.00.

Troms fylke, 2 blad i målestokk 1:300 000. Pris kr. 3.00.

UTGITT AV TEKNISK UKEBLAD, OSLO  
Abonnementspriis: kr. 10,00 pr. år. — Annonsepris:  $\frac{1}{4}$  side kr. 80,00,  $\frac{1}{2}$  side kr. 40,00.  
 $\frac{1}{4}$  side kr. 20,00.  
Ekspedisjon: Ingeniørenes Hus. Telefoner: 20093, 23465.